

# Наблюдение квантового топологического эффекта Холла в селениде ртути – кандидате в семейство полуметаллов Вейля

Лончаков А.Т., Бобин С.Б., Неверов В.Н.

ИФМ УрО РАН, Екатеринбург, Россия, lonchakov@imp.uran.ru

## Введение

В работах [1,2] нами были представлены экспериментальные данные, полученные из анализа магнитосопротивления (МС), которые свидетельствуют о вероятном существовании в HgSe при малой концентрации электронов фазы полуметалла Вейля. Известно, что в вейлевских полуметаллах нетривиальным является не только магнитосопротивление, но и эффект Холла.

Настоящий доклад посвящен наблюдению квантования холловского сопротивления в HgSe – кандидате в семейство полуметаллов Вейля без центра пространственной инверсии.

## Эксперимент

Измерения эффекта Холла и МС проводились в магнитном поле до 12 Т в интервале температур (0.33–150)К на образцах HgSe с концентрациями электронов  $8.8 \cdot 10^{15}$  (образец 1, с подвижностью  $2.16 \cdot 10^{15} \text{ см}^2/\text{Вс}$  при  $T = 4.2\text{K}$ ) и  $2.5 \cdot 10^{17}$  см<sup>-3</sup> (образец 2, с подвижностью  $0.85 \cdot 10^{15} \text{ см}^2/\text{Вс}$ ). Электрический ток  $\vec{j}$  был направлен вдоль оси  $x$ , нечетный по магнитному полю поперечный (холловский) сигнал  $U_{xy}$  регистрировался вдоль оси  $y$ . Были использованы два варианта ориентации магнитного поля:  $\vec{B} \parallel z \perp \vec{j}$  ( $\vec{B}_z$ -конфигурация) и  $\vec{B} \parallel x \parallel \vec{j}$  ( $\vec{B}_x$ -конфигурация).

## Обнаружение квантования топологического эффекта Холла

**Исследования проводились в три этапа.**

I. Для наиболее чистого образца 1 в ультраквантовом пределе в поперечном холловском сопротивлении  $|\rho_{xy}(B_z)|$  ( $\vec{B}_z$ -конфигурация) выявлено плато, которое с понижением температуры трансформируется в протяженный максимум. Однако предшествующие плато оказались сильно размытыми из-за классического эффекта Холла, связанного с силой Лоренца.

II. На втором этапе, чтобы оставить только топологический вклад, магнитное поле было направлено вдоль тока [3]. В  $\vec{B}_x$ -конфигурации для «продольного» холловского сопротивления, определенного соотношением  $\rho_{xy}(B_x) = U_{xy}d/J$  ( $d$  - толщина образца), в магнитном поле обнаружено платообразное поведение [*plateau-like behavior (PLB)*] при четком соответстве каждого плато минимуму продольного МС. Установлено, что PLB-структура трансформируется в «лестничную» [*step-like behavior (SLB)*] структуру «продольной» холловской проводимости  $\sigma_{xy}(B_x) = [\rho_{xy}(B_x)]^{-1}$ . Величина скачка (кванта)  $\Delta\sigma_{xy}$  между соседними плато для образца 1 составила 308 ( $\text{Ом} \cdot \text{см}$ )<sup>-1</sup>. Условие квантования  $\sigma_{xy} = (n + \frac{1}{2})\Delta\sigma_{xy}$  определяется близким к полуцелому фактором заполнения  $v = \sigma_{xy}/\Delta\sigma_{xy} \approx (n + \frac{1}{2})$  ( $n$  – номер уровня Ландау). Полученную SLB-структуру мы связываем с открытием в образце 1 **квантового топологического эффекта Холла** (КТЭХ), вклад в который дают только релятивистские квазичастицы в узлах Вейля.

III. На третьем этапе характерная для КТЭХ структура квантования в  $\vec{B}_x$ -конфигурации была воспроизведена на образце 2 с существенно более высокой концентрацией электронов. Этот факт подтверждает топологическую природу явления, связанную с вкладом в КТЭХ именно фермионов Вейля, а не тривиальных электронов зоны проводимости  $\Gamma_8$  селенида ртути. Этот результат позволяет заключить, что КТЭХ может быть использован как метод детектирования узлов Вейля и поверхностных Ферми-арок в изучаемом материале.

Существующие теоретические представления позволяют ассоциировать обнаруженный КТЭХ в HgSe с полуцелым квантовым спиновым эффектом Холла для полуметаллов Вейля с отсутствующим центром пространственной инверсии [4].

## Заключение

В работе изучен продольный и поперечный магнитотранспорт в квантующем магнитном поле в объемном HgSe с низкой концентрацией электронов.

1. В  $\vec{B}_z$ -конфигурации для обычного холловского сопротивления в квантующем пределе было обнаружено протяженное плато, которое можно объяснить вкладом краевых состояний изоляторов Черна в холловскую проводимость, когда заполнен только нулевой уровень Landau.

2. В  $\vec{B}_x$ -конфигурации наблюдается трансформация PLB-структуры для феноменологически введенного холловского сопротивления в SLB-структуре для магнитопроводимости, которую мы связываем с открытием в HgSe полуцелого квантового топологического эффекта Холла.

3. Чисто топологическая природа КТЭХ делает его устойчивым к изменению в широких пределах концентрации электронов. Поэтому КТЭХ можно предложить в качестве перспективного магнитотранспортного метода для детектирования узлов Вейля в исследуемом материале.

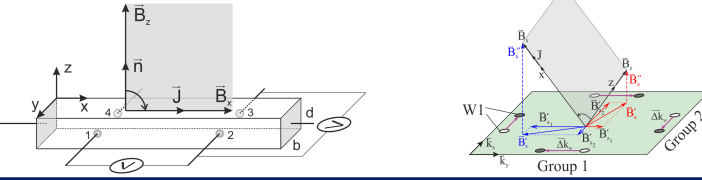
**Полученные результаты открывают новое направление в магнитотранспорте – исследование квантового аномального эффекта Холла в топологических полуметалах.**

Работа выполнена в рамках гос. задания МИНОБРАУНКИ РФ (тема «Электрон», № АААА-А18-118020 190098-5) при частичной поддержке РФФИ (проект № 18-32-00198).

[1] A.T. Lonchakov et al., *Appl. Phys. Lett.* **112**, 082101 (2018). [3] H.-J. Kim et al., *Phys. Rev. Lett.* **111**, 246603 (2013)

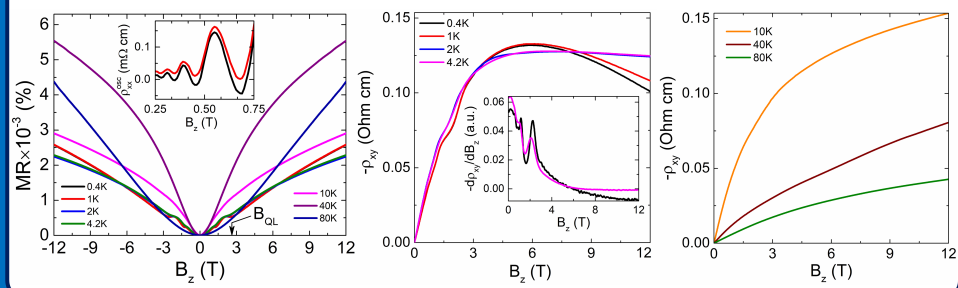
[2] S.B. Bobin et al., *J. Phys.: Condens. Matter* **31**, 115701 (2019). [4] Y. Sun et al., *Phys. Rev. Lett.* **117**, 146403 (2016)

Иллюстрация  $B_z$ - и  $B_x$ -конфигурации в реальном (слева) и обратном (справа) пространствах.



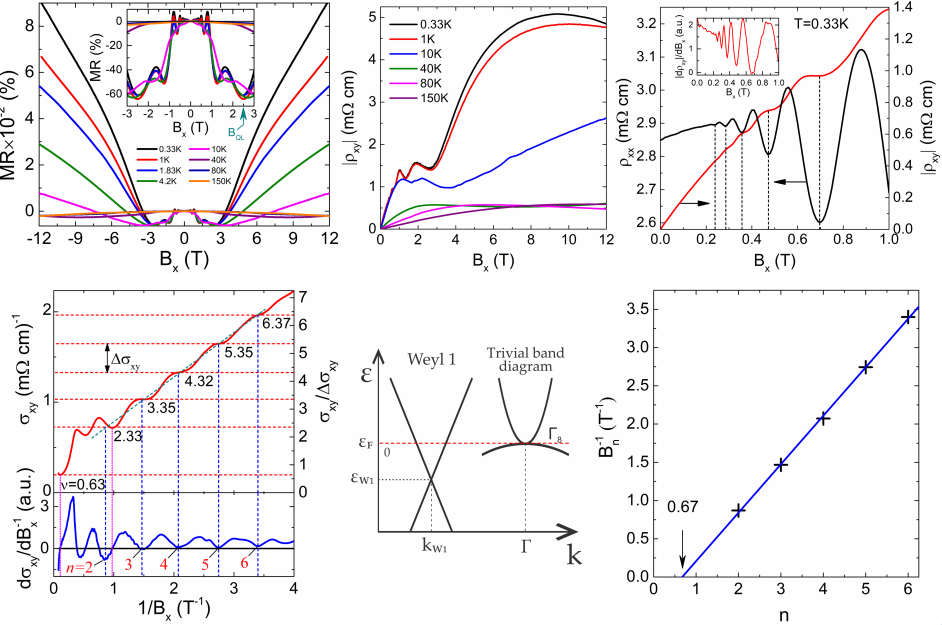
## I.

Магнитотранспортные эффекты для образца 1 в  $B_z$ -конфигурации.



## II.

Магнитотранспортные эффекты для образца 1 в  $B_x$ -конфигурации.



## III.

Магнитотранспортные эффекты для образца 2 в  $B_x$ -конфигурации.

